

## С п и с о к л и т е р а т у р ы

- [1] Крейндель Ю.Е. В кн.: Разработка и применение источников интенсивных электронных пучков. Новосибирск; Наука СО АН СССР, 1976, с. 113-129.
- [2] Жуков В.П., Демидов А.В. // Атомная энергия, 1985. Т. 59. В. 1. С. 29-33.
- [3] Жуков В.П., Болдин А.А. // Атомная энергия, 1987. Т. 63. В. 6. С. 375-379.
- [4] Попов Л.Е., Козлов Э.В. Механические свойства упорядоченных твердых растворов. М.: Металлургия, 1970. 270 с.

Поступило в Редакцию  
12 апреля 1989 г.

Письма в ЖТФ, том 15, вып. 13

12 июля 1989 г.

### 05.1

#### КИНЕТИКА МНОГОЧАГОВОГО РАЗРУШЕНИЯ В УСЛОВИЯХ ОТКОЛА

Э.Н. Б е л л е н д и р, В.В. Б е л я е в,  
О.Б. Н а й м а р к

В последнее время значительное внимание уделяется изучению кинетики разрушения и долговечности твердых тел при отколе. Как показывают экспериментальные исследования, разрушение в условиях импульсного растяжения носит многоочаговый характер. Множественное зарождение и рост микротрещин в волнах напряжений приводит к формированию большого количества очагов макроразрушений, которые затем объединяются в магистральную трещину. При квазистатическом нагружении разделение образца на части происходит вследствие развития одного, реже - двух очагов.

В настоящей работе на основе экспериментального и теоретического изучения кинетики накопления микротрещин и формирования очагов макротрещин в волнах напряжений показана связь закономерностей развития многоочагового разрушения с эффектом „динамической ветви“ при отколе. Экспериментальные исследования проведены на пластинах (диаметром 50 мм, толщиной 10 мм) и стержнях (диаметром 10-12 мм, длиной 100-200 мм) из полиметилметакрилата (ПММА), полистирола (ПС), ультрафарфора (85%  $Al_2O_3$ , 15%  $SiO_2$ ). В образцах ударом на легкогазовой разгонной установке возбуждался импульс сжатия, параметры которого регистрировались лазерным дифференциальным интерферометром [1]. По результатам экспериментальных исследований откольных разрушений

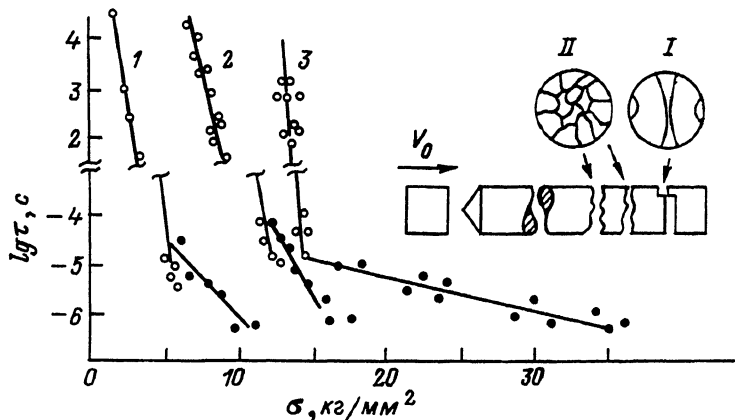


Рис. 1. Временные зависимости прочности полистирола (1), полиметилметакрилата (2), ультрафарфора (3). Вид разрушенного образца. 1 – развитие разрушения с поверхности, II – многоочаговое разрушение объема материала.

образцов были построены зависимости логарифмов долговечности  $\tau$  от амплитуды растягивающих напряжений  $\sigma$  (рис. 1). На этом же рисунке приведены результаты квазистатических экспериментов. При значениях  $\tau \approx 10^{-4}$  с, как показал фрактографический анализ поверхностей изломов, развитие разрушения происходит также, как при квазистатическом растяжении. К разделению образца на части приводит рост одной или двух микротрешина, зарождающихся на поверхности. Зависимости  $\ln \tau(\sigma)$  при этом согласуются с временными зависимостями прочности исследованных материалов в условиях квазистатического нагружения. Увеличение уровня действующих напряжений приводит к отклонению зависимостей  $\ln \tau(\sigma)$  в сторону больших долговечностей (рис. 1). Одновременно наблюдается переход от разрушения одноочагового с поверхности к характерному многоочаговому разрушению объема материала. Можно предположить, что полученные временные зависимости хрупких твердых тел в области импульсного растяжения связаны с переходом к многоочаговому внутреннему разрушению и определяются закономерностями процесса в ансамбле одновременно растущих и взаимодействующих микротрешин.

Методами термодинамики необратимых процессов с использованием статистико-термодинамического описания сред с микротрешинами получены уравнения состояния [2, 3]:

$$\sigma_{ik} = \zeta_1 e_{ik}^\rho - \zeta_2 \dot{r}_{ik}, \quad \Pi_{ik} = \zeta_2 e_{ik}^\rho - \zeta_3 \dot{r}_{ik}, \quad (1)$$

где  $\sigma_{ik}$ ,  $e_{ik}^\rho$ ,  $r_{ik}$  – тензоры напряжений, скоростей необратимых деформаций, плотности микротрещин;  $\Pi_{ik} = \partial F / \partial r_{ik}$ ,  $F$  – свободная энергия среды с микротрешинами;  $\zeta_i$  – константы материала; точкой обозначено дифференцирование по времени.

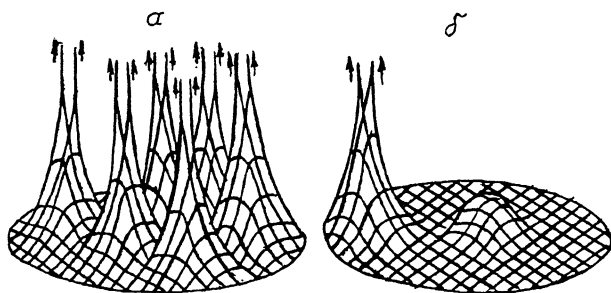


Рис. 2. Уровень плотности микротрещин в сечениях стержня: а -  $h_1 = 16$  мм, б -  $h_2 = 8$  мм.

Для исследования закономерностей кинетики накопления микротрещин и перехода к макроразрушению на основе уравнений (1) проведено численное моделирование эксперимента по соударению алюминиевой пластины со стержнем из ультрафарфора со скоростью  $V_0 = 49$  м/с. В расчетах воздействие пластины было заменено импульсом сжатия треугольной формы с амплитудой 0.22 ГПа. и длительностью 8 мкс. Функция  $\Pi_{ik}$ , представленная в [2] через статистические интегралы, аппроксимировалась выражением  $\Pi_{ik} = -(\frac{1}{4}G_k^2 \exp p_{ik} + \gamma \nabla^2 p_{ik})$ . Здесь  $\nabla$  - оператор Набла,  $\gamma$  - параметр нелокальности,  $G$  - константа материала. Для учета структурной неоднородности материала по сечению образца задавалось случайное распределение параметра  $G$ .

Как показали экспериментальные и численные исследования, на расстоянии  $h_1 = 16$  мм от свободного торца стержня интенсивное нарастание растягивающих напряжений приводит к множественному зарождению, росту микротрещин и формированию многоочагового откольного разрушения. Затем, импульс растяжения малой амплитуды, осциллирующий в первоначально отковавшейся части, вызывает разрушение в сечении  $h_2 = 8$  мм путем прорастания магистральной трещины с поверхности. Вид разрушенного образца схематически изображен на рис. 1. На рис. 2 представлены уровни объемной концентрации микротрещин в откольных сечениях, полученные в результате решения уравнений (1). Анализ кинетики накопления микротрещин в волне растяжения показал, что развитая стадия дисперсного разрушения характеризуется интенсивным взаимодействием микротрещин, что приводит к локализации разрушения. Процесс накопления микротрещин в областях локализации происходит в режиме взрывной неустойчивости и завершается формированием очагов макроразрушения. Характерно, что количество возникающих очагов уменьшается с падением интенсивности волны растяжения. В основе объяснения этого эффекта лежит анализ характерных времен двух процессов: нарастание растягивающих напряжений в сечении откола ( $\tau_g$ ) и накопление объемной концентрации микротрещин ( $\tau_p$ ). В условиях интенсивного роста растя-

гивающих напряжений в сечении  $h_1$  ( $\tau_6 < \tau_p$ ) поведение среды с микротрещинами характеризуется признаками систем, удаленных от состояния равновесия. Происходит активация практически всех зародышей микротрещин, и процесс роста  $P$  рост реализуется в режиме взрывной неустойчивости для всего спектра значений  $L$ . В этом случае осуществляется многоочаговый характер разрушения (рис. 2, а). При невысокой скорости нарастания  $G$  в сечении  $h_2$  ( $\tau_6 > \tau_p$ ) равновесие в системе устанавливается быстро. Ее поведение устойчиво вплоть до начала формирования очага макротрещины в области с повышенным исходным уровнем дефектности, характеризующейся максимальным значением параметра  $L$  (поверхность образца). В этих условиях макроскопическое разрушение наступает вследствие развития одного очага, сформировавшегося на поверхности (рис. 2, б). Заключительная стадия накопления микротрещин характеризуется слабой зависимостью от величины действующих напряжений и определяется взаимодействием кластеров из дисперсно разрушенных областей, являющихся очагами макротрещин. Признаки процесса, обусловленные взаимодействием микротрещин, определяют его важную черту – автомодельность заключительной стадии разрушения. Наблюдаемый в диапазоне длительностей нагружения  $10^{-4}$ - $10^{-6}$  с переход от одноочагового разрушения к многоочаговому сопровождается значительным увеличением интенсивности взаимодействия микротрещин. При этом многократно усиливаются автомодельные признаки процесса дисперсного разрушения; время формирования очага макротрещины становится минимальным и определяется параметрами среды с микротрещинами. Указанные особенности кинетики дисперсного разрушения обуславливают слабую зависимость долговечности от амплитуды растягивающих напряжений в условиях откола и приводят к выделению динамической ветви при значениях  $\tau \approx 10^4$ - $10^5$  с (рис. 1). Автомодельные закономерности заключительной стадии накопления микротрещин в большей степени сказываются на поведении хрупких материалов, поскольку релаксационные процессы, связанные с пластическим течением, не оказывают существенного влияния. Так для ультрафарфора, наиболее хрупкого из трех испытанных материалов, характерна самая слабая зависимость долговечности от амплитуды напряжений (рис. 1).

#### Список литературы

- [1] Златин Н.А., Пугачев Г.С., Беллендир Э.Н., Зильбербранд Е.Л. // ЖТФ 1984. Т. 54. № 4. С. 797-802.
- [2] Наймарк О.Б., Давыдов М.М., Постных А.М. // МКМ. 1984. № 2. С. 271-278.
- [3] Беляев В.В., Наймарк О.Б. // ПМТФ. 1987. № 1. С. 163-171.